

(8) переписать в виде

$$[v(x, t, \rho) + \rho v'_\rho(x, t, \rho)] \rho'_x + \rho'_t = -\rho v'_x(x, t, \rho),$$

то мы приходим к уравнению вида (5) для функции  $\rho(x, t)$ . В силу (1) и (3) система уравнений характеристик в пространстве  $x, t, \rho$  имеет вид

$$\frac{dx}{dt} = v(x, t, \rho) + \rho v'_\rho(x, t, \rho), \quad \frac{d\rho}{dt} = -\rho v'_x(x, t, \rho).$$

(Отметим, что из первого уравнения видно, что при  $v_\rho \neq 0$  зависимость  $x(t)$  для характеристики уже не служит законом движения частицы.) Построение решения  $\rho(x, t)$  при заданном начальном условии можно осуществить так, как это было описано в связи с уравнением (2).

### Упражнения

1. Опишите подробно аналитическую процедуру построения решения уравнения (6) при заданном начальном условии.

2. Найдите решение уравнения  $\vartheta \vartheta'_x + \vartheta'_t = 0$ , удовлетворяющее начальному условию  $\vartheta|_{t=0} = ax$ ; рассмотрите отдельно случаи  $a > 0$  и  $a < 0$ . Переписав уравнение в форме  $\left(\frac{1}{2} \vartheta^2\right)'_x + \vartheta'_t = 0$ , укажите аналог закона сохранения числа частиц и проверьте его для построенного решения.

3. Найдите решение уравнения  $\vartheta \vartheta'_x + \vartheta'_t = 0$ , удовлетворяющее начальному условию  $\vartheta|_{t=0} = \frac{1}{1+x^2}$ .

Указание. Воспользуйтесь графическим решением уравнения  $\frac{1}{1+\rho^2} = ap + b$ .

## § 18. Метод сеток для уравнения эволюции локального параметра

Вернемся к уравнению

$$v(x, t) \frac{\partial \vartheta}{\partial x} + \frac{\partial \vartheta}{\partial t} = g(x, t, \vartheta) \quad (1) = (4.2)$$

с начальным условием

$$\vartheta|_{t=t_0} = \vartheta_0(x). \quad (2) = (3.3)$$

Так как точное решение этой задачи в виде аналитической формулы возможно лишь в редких случаях, то естественно обратиться к численному решению. При этом возможны два различных перехода: именно, можно либо воспользоваться интегрированием вдоль характеристик уравнения (1), либо применить более простой и грубый подход, не использующий характеристик.

При первом подходе мы как бы следим за судьбой отдельных дискретных частиц, выбрав их в момент  $t_0$ , т. е. как бы совершаем

переход, обратный тому, который был проделан в § I.1. Пусть эти частицы в момент  $t_0$  имели координату  $x=mh$ , где  $m$  — любое целое число, а  $h>0$  — выбранный шаг. Тогда, чтобы найти зависимости  $x(t)$  и  $\vartheta(t)$  для такой частицы, согласно § 4, надо решить систему обыкновенных дифференциальных уравнений

$$\frac{dx}{dt} = v(x, t), \quad \frac{d\vartheta}{dt} = g(x, t, \vartheta) \quad (3)$$

при начальных условиях

$$x|_{t=t_0} = mh, \quad \vartheta|_{t=t_0} = \vartheta_0(mh). \quad (4)$$

Это можно сделать с помощью какого-либо из численных методов, известных в теории обыкновенных дифференциальных уравнений (см., например, ЭПМ, § VIII.7), причем с хорошей точностью.

Если обозначить решение системы (3) при начальных данных (4) через  $x_m(t)$ ,  $\vartheta_m(t)$ , то, задавшись любым значением  $t=T$ , получаем таблицу значений искомого решения

$$\vartheta(x, T)|_{x=x_m(T)} = \vartheta_m(T)$$

на интересующем нас интервале значений  $x$ . Можно, например, задаться шагом  $\tau>0$  по времени и полагать  $T=t_0+\tau$ ,  $t_0+2\tau$ , ..., что приведет к таблице с двумя входами для искомого решения. Некоторым (впрочем, небольшим) недостатком этой таблицы будет то, что она по  $x$  неравномерна (значение  $x_{m+1}(t_0+n\tau) - x_m(t_0+n\tau)$ , вообще говоря, зависит как от  $m$ , так и от  $n$ ), так как расстояние между частицами в процессе их движения, вообще говоря, изменяется. Однако надо иметь в виду, что любое конкретное значение  $\vartheta(\bar{x}, \bar{t})$  нетрудно непосредственно вычислить так: сначала численно проинтегрировать уравнение  $\frac{dx}{dt}=v(x, t)$  при начальном условии  $x(\bar{t})=\bar{x}$ , найти соответствующее значение  $x(t_0)=\bar{x}_0$ , после этого численно проинтегрировать систему (3) при начальных условиях  $x(t_0)=\bar{x}_0$ ,  $\vartheta(t_0)=\vartheta_0(\bar{x}_0)$ , откуда и получить  $\vartheta(\bar{x}, \bar{t})=\vartheta(\bar{t})$ .

Второй подход к численному решению исходной задачи (метод сеток) основан на переходе от дифференциального уравнения (1) к разностному с помощью замены производных отношениями приращений. Он имеет очень широкую область применения, в том числе к более сложным задачам, для которых первый подход неприменим; к тому же метод сеток наиболее приспособлен к применению ЭЦВМ — электронных цифровых вычислительных машин. Целесообразно разобрать этот второй подход на рассматриваемом простом примере задачи (1) — (2).

Мы еще более упростим задачу, ограничившись уравнением

$$v \frac{\partial \vartheta}{\partial x} + \frac{\partial \vartheta}{\partial t} = 0 \quad (v = \text{const} > 0); \quad (5)$$

тогда при начальном условии (2) решение, очевидно, равно  $\vartheta = \vartheta_0(x - v(t - t_0))$ . Однако, имея в виду более сложные уравнения, мы этим решением пользоваться не будем. Для простоты будем считать, что начальная функция  $\vartheta_0(x)$  отлична от нуля только на некотором интервале  $0 \leq x \leq b$ .

Выберем, пока произвольно, шаги  $h$  по  $x$  и  $\tau$  по  $t$  и обозначим

$$\vartheta(mh, t_0 + n\tau) = \vartheta_{mn},$$

где  $m, n$  принимают целые значения. Таким образом, мы будем искать значения решения только в узлах сетки, изображенной на рис. 49.

В результате замены производных в уравнении (5) отношениями приращений значения искомого решения в нескольких соседних узлах (в любом месте сетки) окажутся связанными друг с другом. Это можно сделать по-разному. Пусть, например, мы воспользуемся приближенными формулами

$$\left( \frac{\partial \vartheta}{\partial x} \right)_{mn} \approx \frac{\vartheta_{mn} - \vartheta_{m-1,n}}{h}, \quad \left( \frac{\partial \vartheta}{\partial t} \right)_{mn} \approx \frac{\vartheta_{m,n+1} - \vartheta_{mn}}{\tau}. \quad (6)$$

Тогда упомянутая связь примет вид

$$v \frac{\vartheta_{mn} - \vartheta_{m-1,n}}{h} + \frac{\vartheta_{m,n+1} - \vartheta_{mn}}{\tau} = 0, \quad (7)$$

т. е. связанными будут значения решения в узлах, показанных кружками в середине рис. 49.

Из разностного уравнения (7), приближенно заменяющего (5), получаем

$$\vartheta_{m,n+1} = \left( 1 - \frac{v\tau}{h} \right) \vartheta_{mn} + \frac{v\tau}{h} \vartheta_{m-1,n}. \quad (8)$$

Но значения

$$\vartheta_{m0} = \vartheta_0(mh) \quad (9)$$

заданы. Поэтому, полагая  $m=0$ , мы из (8) находим значения  $\vartheta_{m1}$ ; после этого, полагая  $m=1$  и пользуясь найденными значениями  $\vartheta_{m1}$ , мы из (8) получаем значения  $\vartheta_{m2}$  и т. д. Эти значения и должны приближенно представлять искомое решение  $\vartheta(x, t)$ .

Из структуры связи (8) следует, что если  $\vartheta_0(x) \neq 0$  только при  $0 \leq x \leq a$ , то значения  $\vartheta_{mn}$  могут быть отличными от нуля только в заштрихованной на рис. 49 части плоскости (почему?). Однако из формулы для точного решения вытекает, что при  $t \geq t_0$  оно отлично

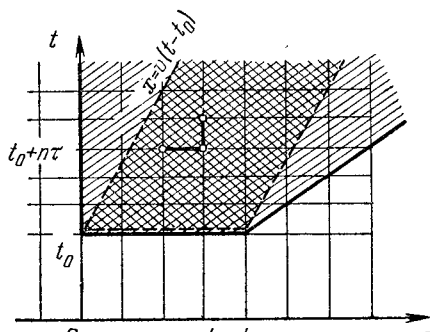


Рис. 49.

от нуля только в области, которая на рис. 49 заштрихована дважды. Отсюда сразу следует, что значения  $\vartheta_{mn}$  могут правильно аппроксимировать точное решение, только если вторая область включается в первую, т. е. если (см. рис. 49)

$$\frac{\tau}{h} \leqslant \frac{1}{v} \quad \text{или, что то же,} \quad \frac{v\tau}{h} \leqslant 1. \quad (10)$$

(Может возникнуть недоумение в связи с тем, что в двух углах, заштрихованных на рис. 49 один раз, значения  $\vartheta_{mn}$ , вообще говоря, отличны от нуля, тогда как точное решение там тождественно равно нулю. Однако нетрудно проверить, что значения  $\vartheta_{mn}$  в этих углах с ростом  $n$  стремятся к нулю с большой скоростью, поэтому отличие этих значений от нуля не противоречит тому, что они аппроксимируют точное решение.)

Схема вычислений, подобная рассмотренной, в которой значения решения в каждом последующем слое (в разобранном примере каждый такой слой отвечал определенному значению  $n$ ) определяются непосредственно через значения решения в предыдущих слоях, называется явной. Казалось бы, явные схемы наиболее удобны для вычислений. Однако когда такие схемы стали впервые применять на ЭЦВМ, то столкнулись с одним непредвиденным осложнением; речь идет о возможной *неустойчивости* вычислений. Дело в том, что для хорошей аппроксимации дифференциального уравнения разностным значения  $h$  и  $\tau$  должны быть достаточно малыми. Поэтому, чтобы сосчитать решение на не слишком малом временном промежутке, требуется проделать весьма большое число временных шагов ( $n$  достигает весьма больших значений). Однако каждое вычисление осуществляется с определенной погрешностью, проистекающей как из-за неточной аппроксимации дифференциального уравнения разностным, так и из-за ошибок округления. В вопросе устойчивости вычислений главную роль играет второй источник ошибок. Именно, оказывается, что для некоторых вычислительных схем ошибки округления при переходе с одного временного слоя на следующий разрастаются и после нескольких таких переходов полностью подавляют решение. Вычисляемые значения безудержно разрастаются, бешено осциллируя (по этим признакам обычно распознается неустойчивость), и не имеют ничего общего с истинным решением. (О неустойчивости вычислений см. также ЭПМ, § XV.5.)

Покажем, как можно предвидеть неустойчивость схемы. Для этого допустим, что функция  $\vartheta(x, t)$  принимает, вообще говоря, комплексные значения и что в начальные данные внесена ошибка

$$\Delta\vartheta_{m0} = \alpha e^{i\gamma m}, \quad (11)$$

где  $\alpha, \gamma$  — некоторые вещественные параметры. (Как известно, — см., например, ЭПМ, гл. XIV, — с помощью суммы таких функций можно представить произвольную функцию, ограниченную для всех

*m.*) Если принять эту ошибку за начальное условие, то соответствующее решение уравнения (7), как мы сейчас покажем, будет иметь вид

$$\Delta \vartheta_{mn} = \alpha e^{i\gamma m} p^n, \quad (12)$$

где  $p$  — некоторая постоянная. В самом деле, подстановка (11) в (7) дает после сокращений (проверьте!)

$$v \frac{1 - e^{-i\gamma}}{h} + \frac{p - 1}{\tau} = 0, \quad (13)$$

откуда можно найти  $p$ :

$$p = 1 - \frac{v\tau}{h} (1 - e^{-i\gamma}) = 1 - \frac{v\tau}{h} + \frac{v\tau}{h} \cos \gamma - i \frac{v\tau}{h} \sin \gamma. \quad (14)$$

Для дальнейшего важно сравнить  $|p|$  с 1. Из (14) легко получаем

$$|p|^2 = 1 - 2 \frac{v\tau}{h} + 2 \left( \frac{v\tau}{h} \right)^2 + 2 \left[ \frac{v\tau}{h} - \left( \frac{v\tau}{h} \right)^2 \right] \cos \gamma.$$

Так как правая часть зависит от  $\cos \gamma$  линейно, то она заключена между границами, которые получаются, если вместо  $\cos \gamma$  подставить его крайние значения, т. е. между

$$1 - 2 \frac{v\tau}{h} + 2 \left( \frac{v\tau}{h} \right)^2 + 2 \left[ \frac{v\tau}{h} - \left( \frac{v\tau}{h} \right)^2 \right] (-1) = \left( 1 - 2 \frac{v\tau}{h} \right)^2$$

и

$$1 - 2 \frac{v\tau}{h} + 2 \left( \frac{v\tau}{h} \right)^2 + 2 \left[ \frac{v\tau}{h} - \left( \frac{v\tau}{h} \right)^2 \right] \cdot 1 = 1.$$

Поэтому могут представиться два случая. Если  $\left| 1 - 2 \frac{v\tau}{h} \right| \leq 1$

(а это равносильно условию (10)!), то  $|p| \leq 1$  (даже, за исключением крайних значений,  $|p| < 1$ ); формула (12) показывает, что погрешность в решении будет с ростом  $n$ , т. е. с переходом к последующим временным слоям, затухать. Аналогичным образом будут затухать погрешности, порожденные ошибками округления на любом шаге по времени, т. е. схема будет устойчивой. Если же условие (10) нарушено, то при  $\cos \gamma = -1$ , т. е. при  $\Delta \vartheta_{m0} = (-1)^m \alpha$ , будет  $|p| > 1$ , а потому с переходом к последующим временным слоям ошибка будет разрастаться; это неустойчивая схема. Итак, условие (10) получает обоснование также и с позиций устойчивости вычислительной схемы.

(Мы предоставляем читателю проверить, что если первую формулу (6) заменить на  $\left( \frac{\partial \vartheta}{\partial x} \right)_{mn} \approx \frac{\vartheta_{m+1,n} - \vartheta_{mn}}{h}$ , то получится явная схема, которая в случае  $v > 0$  будет всегда неустойчивой.)

Полученный результат дает основание ожидать, что замена (6) возможна и для общего уравнения (1) при  $v(x, t) > 0$ . Эта замена

приводит к разностному уравнению

$$v(x_m, t_n) \frac{\vartheta_{mn} - \vartheta_{m-1, n}}{h} + \frac{\vartheta_{m, n+1} - \vartheta_{mn}}{\tau} = g(x_m, t_n, \vartheta_{mn}),$$

где обозначено  $x_m = mh$ ,  $t_n = t_0 + n\tau$ . Последнее уравнение в сочетании с начальным условием (9) приводит к явной вычислительной схеме, причем аналогом условия (10) будет

$$\frac{\tau}{h} \max v \leq 1.$$

Чтобы охватить случай, когда функция  $v$  может менять знак, можно заменить первую формулу (6) на более точную симметричную формулу  $\left(\frac{\partial \vartheta}{\partial x}\right)_{mn} \approx \frac{\vartheta_{m+1, n} - \vartheta_{m-1, n}}{2h}$ . Тогда взамен (13) мы получим уравнение

$$v \frac{e^{i\gamma} - e^{-i\gamma}}{2h} + \frac{p-1}{\tau} = 0,$$

откуда

$$p = 1 - i \frac{v\tau}{h} \sin \gamma, \quad |p|^2 = 1 + \left(\frac{v\tau}{h}\right)^2 \sin^2 \gamma. \quad (15)$$

Может показаться, что так как получилось  $|p| > 1$ , то эта схема неустойчивая. Но на самом деле положение можно спасти за счет существенного уменьшения временного шага  $\tau$ . В самом деле, чтобы продвинуться до момента  $t$ , надо совершить  $\frac{t-t_0}{\tau}$  временных шагов.

Из формулы (12) видно, что при этом исходная ошибка умножится на  $p^{(t-t_0)/\tau}$ ; но в силу (15)

$$|p^{(t-t_0)/\tau}| = \left[1 + \left(\frac{v\tau}{h}\right)^2 \sin^2 \gamma\right]^{(t-t_0)/2\tau} \leq \left[1 + \left(\frac{v\tau}{h}\right)^2\right]^{(t-t_0)/2\tau}. \quad (16)$$

Пусть  $\left(\frac{v\tau}{h}\right)^2 \leq 1$ ; тогда из формулы  $1 + \alpha \approx e^\alpha$  ( $|\alpha| \leq 1$ ) получим, что правая часть (16) приближенно равна

$$\left[e^{(v\tau/h)^2}\right]^{(t-t_0)/2\tau} = e^{v^2\tau(t-t_0)/2h^2}.$$

Таким образом, если ограничить показатель степени небольшим числом, то ошибки округления, хоть и могут разрастаться, но не слишком сильно. Можно, например, положить

$$\frac{v^2\tau(t-t_0)}{2h^2} \leq 1, \quad \text{т. е. } \tau \leq \frac{2h^2}{v^2(t-t_0)}.$$

Таким образом, описываемая схема, хоть и применима, но не очень удобна, так как если для улучшения аппроксимации дифференциального уравнения разностным мы уменьшим шаг  $h$ , то для соблюдения условия устойчивости нам придется уменьшать времен-

ний шаг  $\tau$  еще более значительно, что приведет к резкому увеличению объема вычислений. Временной шаг приходится уменьшать и при увеличении интервала времени  $t$ , для которого строится решение.

Мы уже упоминали о том, что сама замена дифференциального уравнения разностным служит источником ошибки в решении, даже если вычисления производятся с как угодно высокой точностью. Можно показать, что если решение строится на конечном интервале времени, то эта ошибка в решении имеет тот же порядок, что ошибка в уравнении. Например, если в первой из разобранных схем считать  $h$  и  $\tau$  одного порядка и заметить, что формулы (6) имеют погрешность 1-го порядка малости, то мы получаем, что отличие величины  $\vartheta_{mn}$  от точного решения также имеет 1-й порядок малости. Поэтому для того, чтобы, например, повысить точность приближенного решения в 10 раз, надо уменьшить  $h$  и  $\tau$  в 10 раз, что приведет к возрастанию вычислительной работы в 100 раз.

Для уменьшения объема вычислений можно воспользоваться более точными разностными схемами. Например, можно воспользоваться формулами

$$\left(\frac{\partial \vartheta}{\partial x}\right)_{mn} \approx \frac{\vartheta_{m+1,n} - \vartheta_{m-1,n}}{2h}, \quad \left(\frac{\partial \vartheta}{\partial t}\right)_{mn} \approx \frac{\vartheta_{m,n+1} - \vartheta_{m,n-1}}{2\tau},$$

имеющими погрешность 2-го порядка малости. (Это легко получить, разложив правые части по формуле Тейлора вблизи точки  $x_m, t_n$ , что мы предоставляем читателю.) Тогда взамен

(7) мы получим соотношение

$$v \frac{\vartheta_{m+1,n} - \vartheta_{m-1,n}}{2h} + \frac{\vartheta_{m,n+1} - \vartheta_{m,n-1}}{2\tau} = 0, \quad (17)$$

связывающее значения приближенного решения в четырех узлах, показанных на рис. 50. Это соотношение можно разрешить относительно значения в верхнем узле, в результате чего получится явная вычислительная схема.

Отличием этой схемы от двух предыдущих является то, что для ее реализации требуется дополнительное знание искомого решения не на одном, как раньше, а на двух нижних временных слоях, т. е. не только при  $n=0$ , но и при  $n=1$ . Значения решения при  $n=1$  можно определить по одной из двух предыдущих схем, что даст дополнительную ошибку 2-го порядка малости, которая для устойчивой вычислительной схемы не сможет в дальнейшем разрастись. Можно воспользоваться также тем, что заданное уравнение (5) (в общем случае — (1)) позволяет при известном  $\vartheta|_{t=0} = \vartheta_0(x)$  вычислить

$$\frac{\partial \vartheta}{\partial t} \Big|_{t=0} = -v \frac{\partial \vartheta}{\partial x} \Big|_{t=0} = -v \vartheta'_0(x),$$

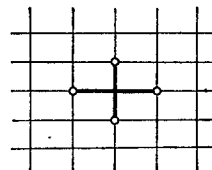


Рис. 50.

затем, с помощью дифференцирования по  $t$ , вычислить

$$\frac{\partial^2 \vartheta}{\partial t^2} \Big|_{t=0} = -v \frac{\partial^2 \vartheta}{\partial x \partial t} \Big|_{t=0} = -v \frac{d}{dx} \left( \frac{\partial \vartheta}{\partial t} \Big|_{t=0} \right) = v^2 \vartheta''_0(x)$$

и т. д. (продумайте эти вычисления для уравнения (1)!). Отсюда, применив разложение в ряд Тейлора по  $t$ , можно получить значение  $\vartheta|_{t=t_0+\tau}$  с высокой точностью, чтобы избежать дополнительного источника ошибок.

Проверим еще вычислительную схему (17) на устойчивость. Рассуждение, аналогичное проведенному для первой схемы, приводит взамен (13) к уравнению

$$v \frac{e^{i\gamma} - e^{-i\gamma}}{2h} + \frac{p - p^{-1}}{2\tau} = 0, \quad \text{т. е.} \quad p^2 + 2i \frac{v\tau}{h} \sin \gamma \cdot p - 1 = 0,$$

откуда

$$p_{1,2} = -i \frac{v\tau}{h} \sin \gamma \pm \sqrt{-\left(\frac{v\tau}{h}\right)^2 \sin^2 \gamma + 1}.$$

Таким образом, если  $|v|\tau/h \leq 1$  (см. условие (10)), то подкоренное выражение положительно и потому

$$|p_{1,2}|^2 = \left(-\frac{v\tau}{h} \sin \gamma\right)^2 + \left(-\left(\frac{v\tau}{h}\right)^2 \sin^2 \gamma + 1\right) = 1,$$

т. е. вычислительная схема устойчива. Если  $|v|\tau/h > 1$ , то при  $\gamma = \frac{\pi}{2}$ , одно из значений  $p$  получается по модулю большими единицами, т. е. вычислительная схема неустойчива.

Мы видели, что во всех рассмотренных нами явных вычислительных схемах для устойчивости требовалось выполнение определенного соотношения между шагами по  $x$  и по  $t$ . Применение неявных вычислительных схем представляет в этом отношении новые возможности. При этом разностная схема называется *неявной*, если на каждом следующем слое она приводит к соотношению между значениями искомого решения, из которого (соотношения) и надо эти значения найти.

В случае  $v > 0$  простейшая неявная схема получается с помощью замены

$$\left(\frac{\partial \vartheta}{\partial x}\right)_{mn} \approx \frac{\vartheta_{mn} - \vartheta_{m-1,n}}{h}, \quad \left(\frac{\partial \vartheta}{\partial t}\right)_{mn} \approx \frac{\vartheta_{mn} - \vartheta_{m,n-1}}{\tau},$$

которая приводит к разностному уравнению

$$v \frac{\vartheta_{mn} - \vartheta_{m-1,n}}{h} + \frac{\vartheta_{mn} - \vartheta_{m,n-1}}{\tau} = 0, \quad (18)$$

связывающему значения приближенного решения в узлах сетки по схеме рис. 51. Подстановка в это уравнение выражения (12)

приводит к равенству

$$v \frac{1 - e^{-i\gamma}}{h} + \frac{1 - p^{-1}}{\tau} = 0,$$

из которого получаем

$$p = \left[ 1 + \frac{v\tau}{h} (1 - e^{-i\gamma}) \right]^{-1} = \left[ 1 + \frac{v\tau}{h} (1 - \cos \gamma) + i \frac{v\tau}{h} \sin \gamma \right]^{-1},$$

откуда легко подсчитать

$$|p|^2 = [1 + 2k + 2k^2 - (2k + 2k^2) \cos \gamma]^{-1} \quad (k = \frac{v\tau}{h}).$$

Отсюда, подобно первому из разобранных примеров, получаем, что  $|p|$  заключено между 1 и  $\left(1 + \frac{v\tau}{h}\right)^{-1}$ , т. е. рассматриваемая схема устойчива при любом соотношении между  $h$  и  $\tau$ .

Впрочем, применение неявной схемы требует еще некоторых усилий при решении уравнения (18), точнее, системы уравнений (18) при зафиксированном  $n$  и всевозможных  $m$ . Например, при  $n=1$  эта система принимает вид

$$-\frac{v}{h} \vartheta_{m-1,1} + \left(\frac{v}{h} + \frac{1}{\tau}\right) \vartheta_{m1} = \frac{1}{\tau} \vartheta_{m0}, \quad (19)$$

где правые части заданы в силу начального условия (9). Однако пусть начальная функция  $\vartheta_0(x)$  отлична от нуля только при  $x \geq 0$ .

Тогда (см. рис. 49) и решение равно нулю при  $x \leq 0$ , а потому  $\vartheta_{m0} = 0$  ( $m < 0$ ). Полагая в соотношении (19)  $m=0$ , получим, что

$$\vartheta_{01} = \frac{\vartheta_{00}}{\tau} : \left(\frac{v}{h} + \frac{1}{\tau}\right); \quad (20)$$

полагаем затем  $m=1$ , найдем

$$\vartheta_{11} = \left(\frac{1}{\tau} \vartheta_{10} + \frac{v}{h} \vartheta_{01}\right) : \left(\frac{v}{h} + \frac{1}{\tau}\right),$$

куда надо подставить  $\vartheta_{01}$  из (20), и т. д. Найдя значения  $\vartheta_{m1}$  в требуемом диапазоне изменения  $x$ , можно положить в (18)  $n=2$  и найти аналогичным образом значения  $\vartheta_{m2}$  и т. д.

Как видим, применяя неявную схему вместо явной, приходится проводить некоторые добавочные вычисления. Несмотря на это, неявные схемы широко применяются, так как в них можно достичь экономии в вычислениях за счет не слишком малого  $\tau$ , т. е. за счет уменьшения числа временных шагов.

Отметим, что для получения решения на очередном временном слое в неявной схеме требуется произвести рекуррентную цепочку вычислений; поэтому здесь также возникает вопрос об их устойчивости. Так, в разобранном примере ошибка  $\Delta\vartheta_{01}$  в значении  $\vartheta_{01}$

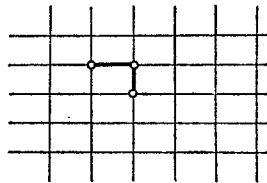


Рис. 51.

распространяется «направо» по формуле  $\Delta\vartheta_{m1} = q^m \Delta\vartheta_{01}$ , где  $q$  в силу (19) удовлетворяет уравнению

$$-\frac{v}{h} q^{-1} + \left( \frac{v}{h} + \frac{1}{\tau} \right) = 0, \quad \text{откуда} \quad q = \frac{v}{h} : \left( \frac{v}{h} + \frac{1}{\tau} \right).$$

Итак,  $|q| < 1$ , а потому вычисления на каждом слое устойчивы.

Метод сеток для квазилинейных уравнений, рассмотренных в § 17, осложнен необходимостью предусмотреть явление перехлеста. Мы не будем рассматривать здесь этот метод, так как его более естественно излагать в связи с теорией взаимодействующих частиц.

## ОТВЕТЫ И РЕШЕНИЯ

### § 2

$$G(t; \vartheta) = \begin{cases} 0 & (-\infty < t < \vartheta), \\ \exp \left[ - \int_{\vartheta}^t b(s) ds \right] & (\vartheta < t < \infty) \end{cases} \quad (\vartheta > t_0),$$

$$G(t; \vartheta) = \begin{cases} -\exp \left[ - \int_{\vartheta}^t b(s) ds \right] & (-\infty < t < \vartheta), \\ 0 & (\vartheta < t < \infty) \end{cases} \quad (\vartheta < t_0);$$

$$x(t) = \int_{t_0}^t G(t; \vartheta) \varphi(\vartheta) |d\vartheta| = \int_{t_0}^t \varphi(\vartheta) \exp \left[ - \int_{\vartheta}^t b(s) ds \right] d\vartheta.$$

### § 3

1.  $\vartheta(x, h) = e^x (1 - v_0 h)$ ,  $\vartheta(x, 2h) = e^x (1 - v_0 h)^2$ , вообще,  $\vartheta(x, kh) = e^x (1 - v_0 h)^k$ ; полагая  $kh = t$ , т. е.  $k = \frac{t}{h}$ , получаем  $\vartheta(x, t) = \lim_{h \rightarrow 0} [e^x (1 - v_0 h)^{t/h}] = e^{x-v_0 t}$ , это и есть точное решение. Для произвольной функции  $\vartheta_0(x)$  аналогично получаем по методу Эйлера значение  $\vartheta(x, t)$  при  $t = kh$  равным

$$\vartheta_0(x) - \frac{\vartheta'_0(x)}{1!} v_0 t + \frac{\vartheta''_0(x)}{2!} v_0^2 t^2 (t-h) - \dots + (-1)^k \frac{\vartheta_0^{(k)}(x)}{k!} v_0^k t (t-h) \dots \dots [t - (k-1)h].$$

При  $h \rightarrow 0$  в пределе получаем разложение функции  $\vartheta_0(x - v_0 t)$  в ряд Тейлора (если это разложение возможно!).

2.  $\vartheta(x, t) = \sin k [(x + t + 1) e^{-t} - 1]$ .

### § 4

$$\vartheta(x, t) = \left\{ A \sin [\omega(x - v_0 t)] + \frac{b}{a} (x - v_0 t) + \frac{1}{a^2} (c + bv_0) \right\} e^{at} - \frac{1}{a} (bx + ct) - \frac{1}{a^3} (c + bv_0).$$